

# **Electroweak corrections to dilepton production via photon fusion at LHC**

**V. A. Zykunov, JINR**

Moscow, 29 November – 2 December, 2022  
6th International Conference on Particle Physics and  
Astrophysics

# Introduction

Despite the fact that the Standard Model (SM) keeps for oneself the status of consistent and experimentally confirmed theory, the search of New Physics (NP) manifestations is continued:

- ★ **the supersymmetry,**
- ★ **M-theory,**
- ★ **DM-particles,**
- ★ **axions,**
- ★ **feebly interacting particles,**
- ★ **extra spatial dimensions,**
- ★ **extra neutral gauge bosons, etc.**

One of powerful tool in the modern experiments at LHC is the investigation of **Drell–Yan dilepton production**

$$pp \rightarrow \gamma, Z \rightarrow l^+l^- X \quad (1)$$

at **large invariant mass** of lepton pair:  $M \geq 1$  TeV.

# Drell-Yan process (1970, BNL)

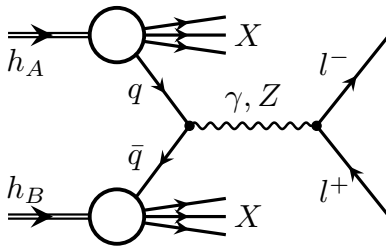


Figure 1: Drell-Yan process with neutral current

- ★  $\sqrt{\mathbf{S}}$  is total energy in c.m.s. of hadrons
- ★  $\mathbf{M}$  is dilepton  $\mathbf{l}^+\mathbf{l}^-$  invariant mass ( $\mathbf{l} = \mathbf{e}, \mu$ )
- ★  $\mathbf{y}$  is dilepton rapidity

# Current experimental situation at CMS LHC

- ★ The measured Drell–Yan cross sections and forward-backward asymmetries **are consistent with the SM predictions** at

$\sqrt{S} = 7\text{--}8 \text{ TeV (19.7 fb}^{-1}\text{)} \text{ for } M \leq 2 \text{ TeV,}$

$\sqrt{S} = 13 \text{ TeV (85 fb}^{-1}\text{)} \text{ for } M \leq 3 \text{ TeV}$

- ★ differential cross section  $\frac{d\sigma}{dM}$ ,
- ★ double-differential cross section  $\frac{d^2\sigma}{dMdy}$ ,
- ★ forward-backward asymmetry  $A_{FB}$ .
- ★ NNLO RCs are taken into account by using of **FEWZ 3.1**
- ★ NNLO PDFs are **CT10 NNLO** and **NNPDF2.1**.

# Some modern codes for NLO and NNLO RC for DY process at hadronic colliders (in the ABC order)

- ★ DYNNLO (S. Catani, L. Cieri, G. Ferrera et al.)
- ★ FEWZ (R. Gavin, Y. Li, F. Petriello, S. Quackenbush)
- ★ HORACE (C. Carloni Calame, G. Montagna, et al.)
- ★ MC@NLO (S. Frixione, F. Stoeckli, P. Torrielli et al.)
- ★ PHOTOS (N. Davidson, T. Przedzinski, Z. Was et al.)
- ★ POWHEG (L. Barze, G. Montagna, P. Nason et al.)
- ★ RADY (S. Dittmaier, A. Huss, C. Schwinn et al.)
- ★ READY (V. Zykunov, RDMS CMS)
- ★ SANC (Dubna: A. Andonov, A. Arbuzov, D. Bardin et al.)
- ★ WINHAC (W. Placzek, S. Jadach, M. W. Krasny et al.)
- ★ WZGRAD (U. Baur, W. Hollik, D. Wackerlohe et al.)

## Code READY and a set of prescriptions

In the following the scale of radiative corrections and their effect on the observables of Drell–Yan processes will be discussed using FORTRAN program **READY**: (**R**adiative corr**E**ctions to **I**Arge invariant mass **D**rrell–**Y**an process).

We used the following set of prescriptions:

- ★ standard PDG set of SM input electroweak parameters,
- ★ “effective” quark masses ( $\Delta\alpha_{\text{had}}^{(5)}(m_Z^2) = 0.0276$ ),
- ★ 5 active flavors of quarks in proton,
- ★ CTEQ, CT10, and MHHT14 sets of PDFs,
- ★ choice for PDFs:  $\mathbf{Q} = \mathbf{M}_{\text{sc}} = \mathbf{M}$ .

# CMS detector setup

We impose the experimental restriction conditions

- ★ on the detected lepton angle  $-\zeta^* \leq \cos \theta \leq \zeta^*$  and on the rapidity  $|\mathbf{y}(\mathbf{l})| \leq \mathbf{y}(\mathbf{l})^*$ ; for CMS detector the cut values of  $\zeta^*$  and  $\mathbf{y}(\mathbf{l})^*$  are determined as

$$\mathbf{y}(\mathbf{l})^* = -\log \tan \frac{\theta^*}{2} = 2.5, \quad \zeta^* = \cos \theta^* \approx 0.986614,$$

- ★ the second standard CMS restriction  $\mathbf{p}_T(\mathbf{l}) \geq 20 \text{ GeV}$ ,
- ★ **the “bare” setup** for muon identification requirements (no smearing, no recombination of muon and photon/gluon).

## Mathematical Content

At the edges of kinematical region (extra large  $\sqrt{\mathbf{S}}$ ,  $M$ ) the important task is make the RC procedure both accurate and fast. For the latter it is desirable to obtain **the set of compact formulas** for the EWK and QCD RCs.

Leading effect of **Weak RCs** in the region of large  $M$  is described by the Sudakov Logarithms (**SL, V. Sudakov, Sov. Phys. JETP 3, 65 (1956)**):

$$\log \frac{m_B^2}{|r|} \quad (B = Z, W; \quad r = s, t, u). \quad (2)$$

Collinear Logarithms (**CL**) play leading role in description of **QED RCs and QCD RCs**:

$$\log \frac{m_f^2}{|r|} \quad (f = e, \mu, q; \quad r = s, t, u). \quad (3)$$

## Notations, invariants, coupling constants

The standard set of Mandelstam invariants for the partonic elastic scattering:

$$s = (\mathbf{p}_1 + \mathbf{p}_2)^2, \quad t = (\mathbf{p}_1 - \mathbf{k}_1)^2, \quad u = (\mathbf{k}_1 - \mathbf{p}_2)^2. \quad (4)$$

The propagator for  $j$ -boson depends on its mass and width:

$$D^{js} = \frac{1}{s - m_j^2 + im_j\Gamma_j}. \quad (5)$$

Suitable combinations of coupling constants are:

$$\lambda_{f+}^{ij} = v_f^i v_f^j + a_f^i a_f^j, \quad \lambda_{f-}^{ij} = v_f^i a_f^j + a_f^i v_f^j, \quad (6)$$

$$v_f^\gamma = -Q_f, \quad a_f^\gamma = 0, \quad v_f^Z = \frac{|I_f|^2 - 2s_W^2 Q_f}{2s_W c_W}, \quad a_f^Z = \frac{|I_f|^2}{2s_W c_W}.$$

# Main features of EWK and QCD RCs calculation

The Feynman rules, renormalization details, etc. are inspired by  
**M. Böhm, H. Spiesberger, W. Hollik, Forschr.Phys. 34, 687 (1986)**:

- ★ **the t'Hooft–Feynman gauge,**
- ★ **on-mass renormalization scheme ( $\alpha, \alpha_s, m_W, m_Z, m_H$  and the fermion masses as independent parameters),**
- ★ **ultrarelativistic limit.**

QCD result can be obtained from QED case by substitution:

$$Q_q^2 \alpha \rightarrow \sum_{a=1}^{N^2-1} t^a t^a \alpha_s = \frac{N^2 - 1}{2N} I \alpha_s \rightarrow \frac{4}{3} \alpha_s, \quad (7)$$

here  $2t^a$  – Gell-Man matrices,  $N = 3$ .

## Two mechanisms: DY and $\gamma\gamma$

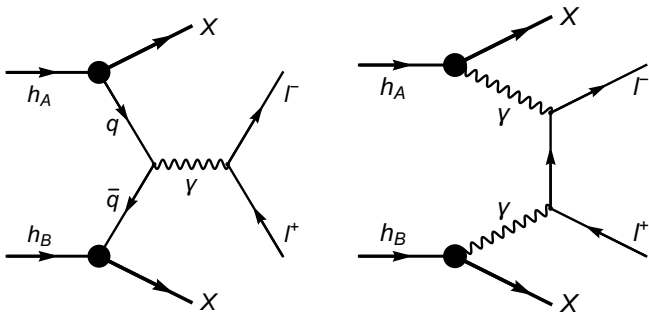


Figure 2: Процесс рождения дилептона в адронных столкновениях: слева – процесс Дрелла–Яна с виртуальным фотоном, справа – механизм фотонного слияния. На линиях указаны наименования частиц.

# $\gamma\gamma$ -fusion Born: diagrams and cross sections

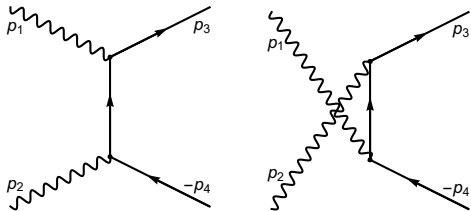


Figure 3: Фейнмановские диаграммы процесса  $\gamma\gamma \rightarrow l^-l^+$  в борновском приближении.

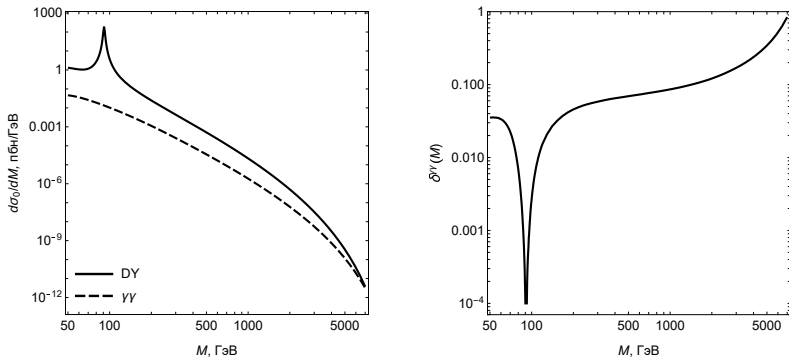
Parton level:

$$d\sigma_0^{\gamma\gamma} = \frac{2\pi\alpha^2}{s^2} \frac{t^2 + u^2}{tu} dt. \quad (8)$$

Hadron level ( $C = \cos\theta$ ):

$$\frac{d^3\sigma_0^h}{dMdydC} = 8\pi\alpha^2 f_\gamma^A(x_1) f_\gamma^B(x_2) \frac{t^2 + u^2}{SM^5(1 - C^2)} \Theta. \quad (9)$$

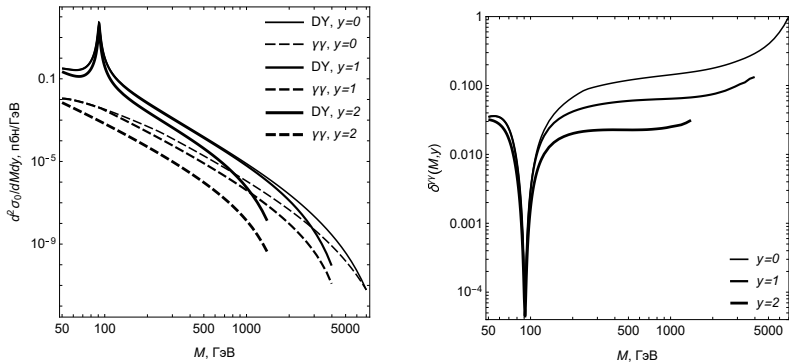
# DY vs $\gamma\gamma$ : diff. cross section $d\sigma/dM$



**Figure 4:** а – дифференциальные борновские сечения по инвариантной массе  $\frac{d\sigma_0}{dM}$  в зависимости от  $M$ .  
б – относительная поправка  $\delta^{\gamma\gamma}(M)$  в зависимости от  $M$ .

$$\delta^{\gamma\gamma}(M) = \frac{d\sigma_0^{\gamma\gamma}/dM}{d\sigma_0^{\text{DY}}/dM}. \quad (10)$$

# DY vs $\gamma\gamma$ : double diff. cross section $d^2\sigma/dMdy$



**Figure 5:** а – дважды дифференциальные борновские сечения  $\frac{d^2\sigma_0}{dMdy}$  в зависимости от  $M$  при различных значениях  $y$ .  
 б – относительные поправки  $\delta^{\gamma\gamma}(M, y)$  в зависимости от  $M$  при различных значениях  $y$ .

## Virtual diagrams: $\gamma$ and $Z$

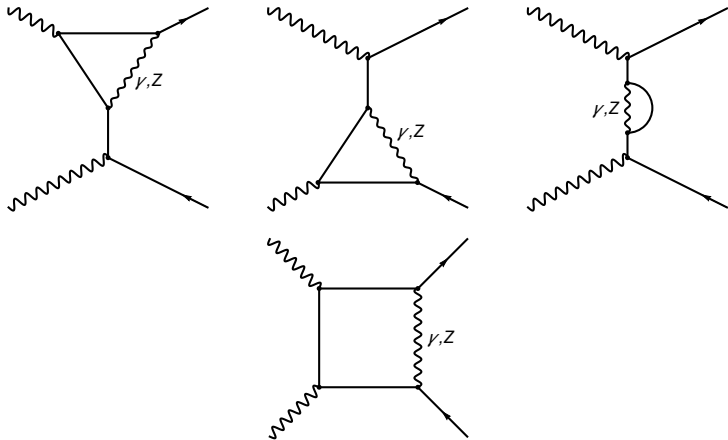


Figure 6: Половина набора фейнмановских диаграмм процесса  $\gamma\gamma \rightarrow l^-l^+$  с дополнительным виртуальным фотоном и  $Z$ -бозоном: вершинны, собственная энергия электрона, бокс. Оставшиеся диаграммы получаются заменой  $p_1 \leftrightarrow p_2$ .

# Virtual diagrams: $W$

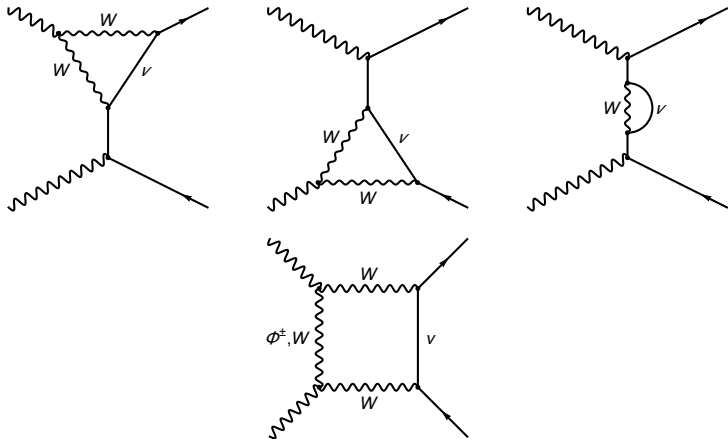


Figure 7: Половина набора фейнмановских диаграмм процесса  $\gamma\gamma \rightarrow l^- l^+$  с дополнительным виртуальным  $W$ -бозоном: вершины, собственная энергия электрона, бокс. Оставшиеся диаграммы получаются заменой  $p_1 \leftrightarrow p_2$ .

# Bremsstrahlung diagrams

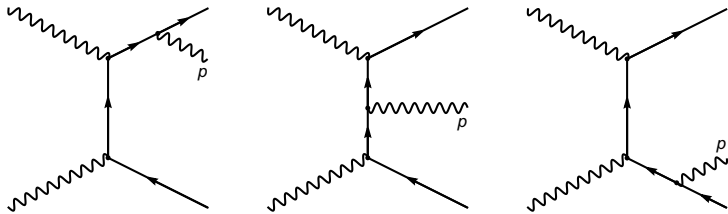


Figure 8: Половина набора фейнмановских диаграмм процесса  $\gamma\gamma \rightarrow l^- l^+ \gamma$ . Оставшиеся диаграммы могут быть получены заменой  $p_1 \leftrightarrow p_2$ .

## Virtual + soft contribution

Вклад от дополнительных диаграмм с виртуальным и мягким фотонами полностью факторизуется перед борновским сечением, см. напр. M. Böhm and T. Sack, Z. Phys. C 33, 157 (1986):

$$\delta_{\text{QED}} = \frac{\alpha}{\pi} \left( \log \frac{4\omega^2}{s} (L - 1) + \frac{\pi^2}{3} - \frac{3}{2} + \frac{tu}{t^2 + u^2} [f(t, u) + f(u, t)] \right),$$

где коллинеарный (“большой”) логарифм и логарифм, зависящий от угла рассеяния такие:

$$L = \log \frac{s}{m^2}, \quad L_{st} = \log \frac{s}{-t}, \quad (11)$$

a

$$f(t, u) = \frac{s^2 + t^2}{2tu} L_{st}^2 - \frac{3u}{2t} LL_{st} - L_{st}.$$

## Weak contributions: $Z$ and $W$

Слабые поправки также полностью факторизуются:

$$\delta_Z = -\frac{\alpha}{\pi} (v_Z^2 + a_Z^2) \frac{tu}{t^2 + u^2} [G_Z(t, u) + G_Z(u, t)],$$

$$\delta_W = -\frac{\alpha}{\pi} \frac{1}{4s_W^2} \frac{tu}{t^2 + u^2} [G_W(t, u) + G_W(u, t)],$$

при условии асимптотики  $\sqrt{s} \gg m_Z$ , соответствующей НЕ-режиму, получим:

$$G_Z^{HE}(t, u) = \frac{t^3 L_{st}^2}{2u^3} + \frac{t L_{tz}}{2u} (L_{sz} + L_{st} - 1) - \frac{t L_{sz}}{u} - \frac{t^2 L_{st}}{u^2} + \frac{t(27 - 2\pi^2)}{12u},$$

$$G_W^{HE}(t, u) = \frac{t^2}{su} (\pi^2 - L_{sW}^2) + \frac{t}{u} \left( \frac{\pi^2}{3} + L_{tW}^2 \right) - \frac{3u}{2t} L_{tW} - L_{st} + \frac{5u}{4t},$$

где судаковские логарифмы:

$$L_{tB} = \log \frac{-t}{m_B^2}, \quad L_{sB} = \log \frac{s}{m_B^2}; \quad B = Z, W.$$

# Independance of unphysical $\omega$

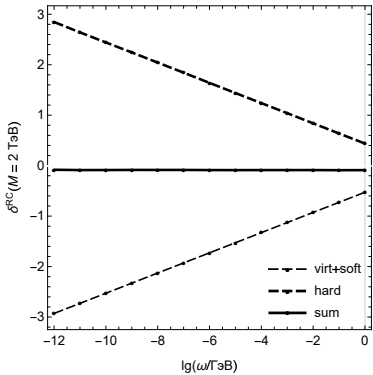


Figure 9: Относительные поправки  $\delta^{\text{RC}}$  к дифф. сечению  $\frac{d\sigma}{dM}$  (виртуальный и мягкий вклад, жесткий вклад и их сумма) в зависимости от  $\omega$  (рождения димюона,  $M=2$  ТэВ).

$$\delta^{\text{RC}}(M) = \frac{d\sigma_{\text{RC}}^{\gamma\gamma}/dM}{d\sigma_0^{\gamma\gamma}/dM}. \quad (12)$$

# ElectoMagnetic corrections to diff. cross section $d\sigma/dM$

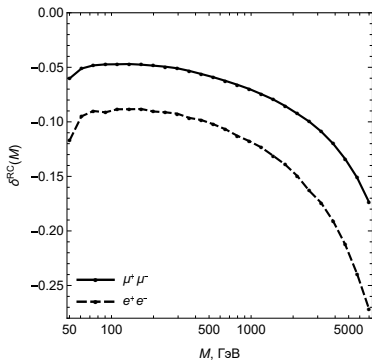


Figure 10: Полные относительные электромагнитные поправки  $\delta^{\text{RC}}(M)$  к  $\frac{d\sigma}{dM}$  в зависимости от  $M$ .

# ElectoMagnetic corrections to double diff. cross section $d^2\sigma/dMdy$

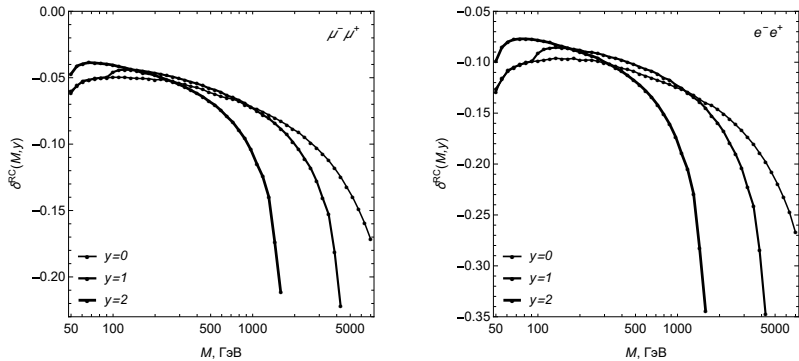


Figure 11: Полные относительные электромагнитные поправки  $\delta^{RC}(M, y)$  к  $\frac{d^2\sigma_0}{dMdy}$  в зависимости от  $M$  при различных  $y$ .

# ElectoWeak corrections to diff. and double diff. cross sections

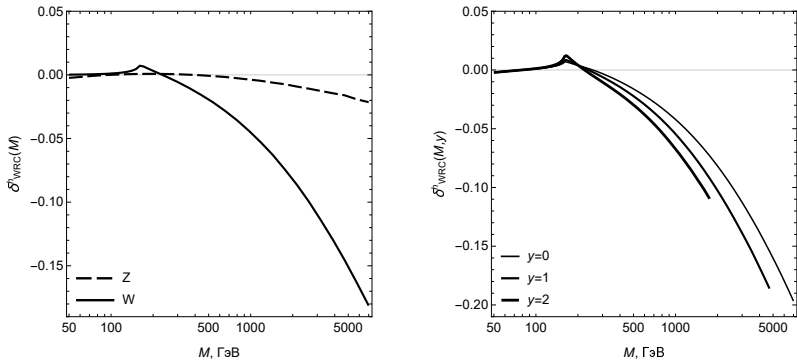
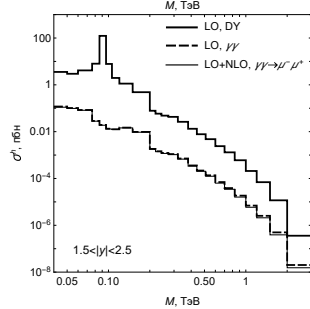
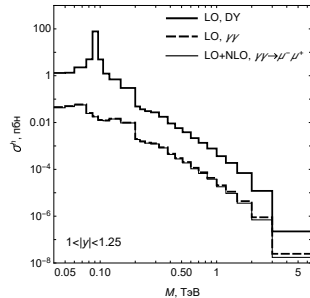
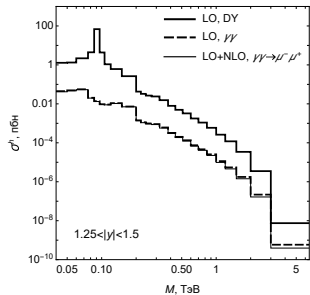
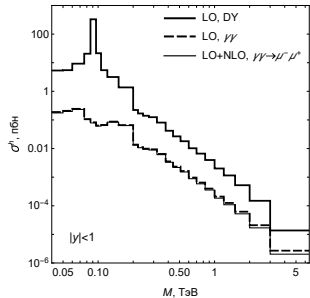


Figure 12: (a) относительные электрослабые поправки к дифф. сечению в зависимости от  $M$ ,  
(б) полные относительные электрослабые поправки к дважды дифф. сечению в зависимости от  $M$  при различных  $y$ .

# Total cross sections: standard CMS bins



## Forward-backward asymmetry $A_{FB}$

Асимметрия вперед-назад  $A_{FB}$  – важная наблюдаемая для рождения дилептона в адронных столкновениях – имеет **двойную природу** (электрослабую и кинематическую):

$$A_{FB} = \frac{\sigma_F^h - \sigma_B^h}{\sigma_F^h + \sigma_B^h}, \quad (13)$$

где

$\sigma_F^h$  – сечение “вперед” ( $\cos \theta^* > 0$ ),

$\sigma_B^h$  – сечение “назад” ( $\cos \theta^* < 0$ ).

В системе Коллинза–Сопера  $\cos \theta^*$  выглядит так:

$$\cos \theta^* = \text{sgn}[\mathbf{x}_2(\mathbf{t} + \mathbf{u}_1) - \mathbf{x}_1(\mathbf{t}_1 + \mathbf{u})] \frac{\mathbf{t}\mathbf{t}_1 - \mathbf{u}\mathbf{u}_1}{M \sqrt{s(\mathbf{u} + \mathbf{t}_1)(\mathbf{u}_1 + \mathbf{t})}}. \quad (14)$$

## Boundaries for Forward and Backward regions

В случае безрадиационной кинематики выражение для  $\cos \theta^*$  имеет особенно простой вид:

$$\cos \theta^* = \operatorname{sgn}[\mathbf{x}_1 - \mathbf{x}_2] \frac{\mathbf{u} - \mathbf{t}}{\mathbf{s}} = \operatorname{sgn}[\mathbf{e}^y - \mathbf{e}^{-y}] \frac{(1 + \mathcal{C})\mathbf{e}^{-y} - (1 - \mathcal{C})\mathbf{e}^y}{(1 + \mathcal{C})\mathbf{e}^{-y} + (1 - \mathcal{C})\mathbf{e}^y}.$$

Решая уравнение  $\cos \theta^* = 0$ , получим **два условия** на границу, разделяющую области сечений  $\sigma_F^h$  и  $\sigma_B^h$ :

$$y = 0, \quad \mathcal{C} \equiv \cos \theta = \operatorname{th} y.$$

Условие  $|\cos \theta| < \zeta^*$  – тривиально, а  $|\cos \alpha| < \zeta^*$  – нет:

$$\cos \left( \arccos \frac{\cos \theta - \operatorname{th} y}{r} + \arcsin \frac{\sin \theta \operatorname{th} y}{r} \right) = \pm \xi^*,$$

где

$$r = \sqrt{1 - 2 \cos \theta \operatorname{th} y + \operatorname{th}^2 y}.$$

# Forward and Backward regions

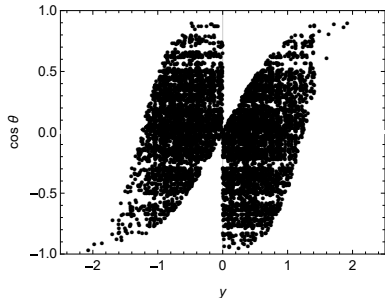
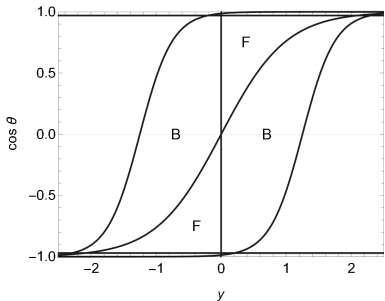


Figure 14: (a) области интегрирования для сечений вперед  $\sigma_F^h$  и назад  $\sigma_B^h$  в переменных  $y$  и  $\cos \theta$  (границы описываются уравнениями  $y = 0$ ,  $\cos \theta = \text{th } y$ ,  $\cos \theta = \pm \zeta^*$  и  $\cos \alpha = \pm \zeta^*$ , где  $\zeta^* \approx 0.986614$ ), (б) точками на диаграмме обозначены разыгранные с помощью программы VEGAS события, соответствующие области “назад”.

# Interplay of DY and $\gamma\gamma$ for $A_{FB}$ : numerical effect

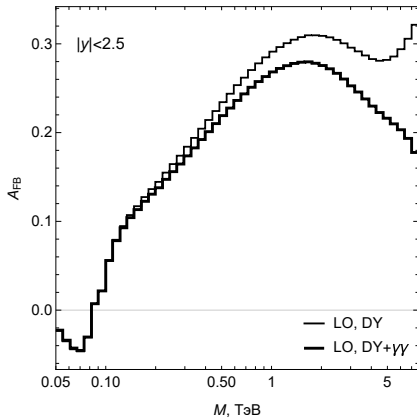


Figure 15: Борновские асимметрии вперед-назад рождения димюона в зависимости от  $M$  в условиях CMS LHC: механизм Дрелла–Яна (тонкая линия), с учетом обоих механизмов – Дрелла–Яна и фотонного слияния (жирная линия).

## Interplay of DY and $\gamma\gamma$ for $A_{FB}$ : explanation

Так как борновский процесс фотонного слияния имеет чисто электромагнитную природу, для него

$$\mathbf{A}_{FB}^{\gamma\gamma} = \mathbf{0},$$

откуда заключаем, что

$$\sigma_F^{\gamma\gamma} = \sigma_B^{\gamma\gamma} = \Delta.$$

Сечение фотонного слияния становится сравнимым с сечением процесса Дрелла–Яна только при больших  $M$ . Раскладывая асимметрию, обусловленную суммарным эффектом, в ряд по  $\Delta$ , получим

$$\mathbf{A}_{FB}^{DY+\gamma\gamma} \approx \mathbf{A}_{FB}^{DY} \left( 1 - \frac{2\Delta}{\sigma_{F+B}^{DY}} \right).$$

Описываемый эффект понижения асимметрии при больших  $M$  виден на рис. 15, начиная с  $M \sim 300$  ГэВ.

# $A_{FB}$ for Run3 of CMS LHC: $\mu^+\mu^-$ , DY

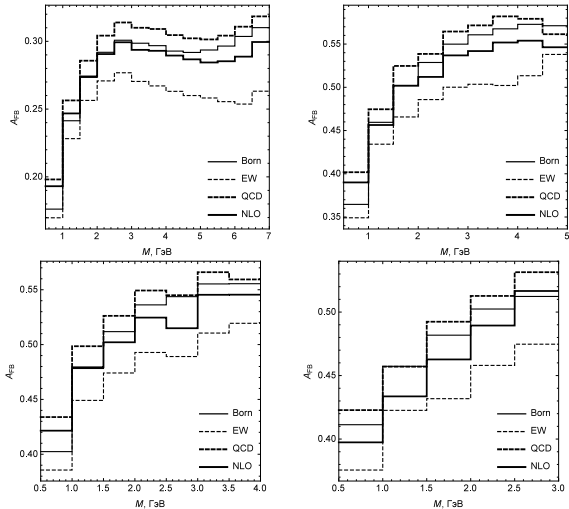


Figure 16: Асимметрия вперед-назад  $A_{FB}$  для  $\mu^+\mu^-$ -рождения:  
 (а)  $|y| < 1$ , (б)  $1 < |y| < 1.25$ , (в)  $1.25 < |y| < 1.5$ , (г)  $1.5 < |y| < 2.5$ .

# $A_{FB}$ for Run3 of CMS LHC: $e^+e^-$ , DY

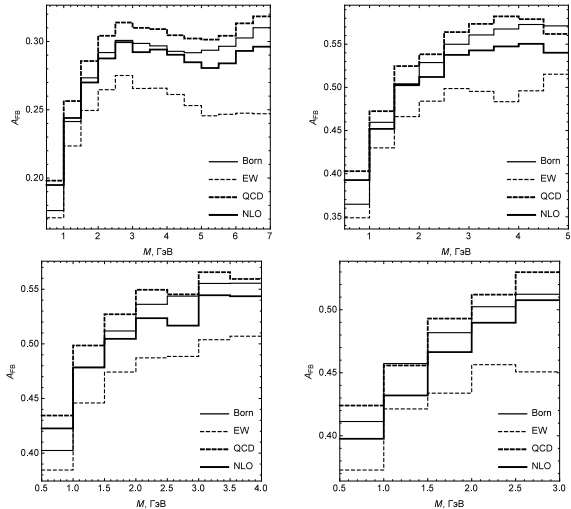


Figure 17:  $A_{FB}$  для  $e^+e^-$ -рождения: (а)  $|y| < 1$ , (б)  $1 < |y| < 1.25$ , (в)  $1.25 < |y| < 1.5$ , (г)  $1.5 < |y| < 2.5$ .

# $A_{FB}$ for Run3 of CMS LHC: $\mu^+\mu^-$ , DY and $\gamma\gamma$

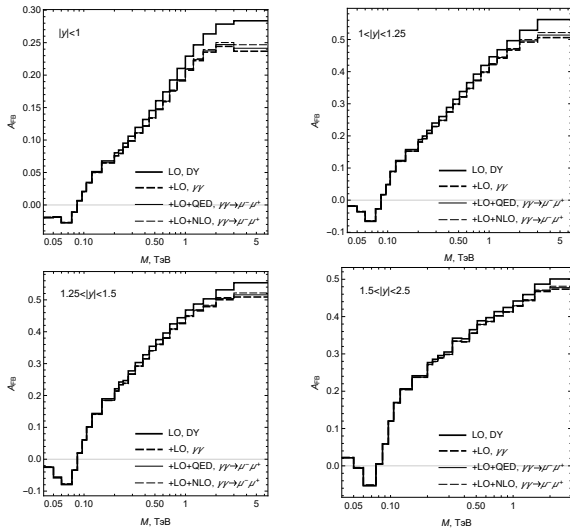


Figure 18: Асимметрия вперед-назад  $A_{FB}$  для  $\mu^+\mu^-$ -рождения.

## Conclusions. ACKNOWLEDGMENTS

- ★ **The NLO EWK** corrections to Drell–Yan process with  $\gamma\gamma$ -fusion mechanism have been studied.
- ★ **It has been ascertained** that the considered in Run 3 region radiative corrections change the cross sections and  $A_{FB}$  very significantly.
- ★ I would like to thank the **RDMS CMS group** members for the stimulating discussions and **CERN (CMS Group)** for warm hospitality during my visits.
- ★ Работа частично выполнена при поддержке ГПНИ Беларуси “Конвергенция-2025” (подпрограмма “Микромир, плазма и Вселенная”).
- ★ Численный расчет частично проведен на Гетерогенной платформе **HybriLIT** Лаборатории информационных технологий ОИЯИ.